

LAMPIRAN 1

Data Hati Mencit Jantan

Hans (Pengamat1)

Kelompok	No. Mencit	Jumlah Nekrosis Sel Hati					Jumlah Sel
		Lap. 1	Lap. 2	Lap.3	Lap. 4	Lap. 5	
K(-)	17	20	15	13	15	15	77
	18	16	17	21	16	20	90
	19	14	17	22	18	14	85
K(+)	1	17	16	7	11	21	72
	2	34	35	41	27	21	158
	3	26	20	21	41	25	133
K(+S)	5	19	23	16	14	16	88
	6	20	20	26	29	20	115
	7	18	15	11	13	11	68
P1	2	23	24	21	42	22	132
	4	27	24	16	23	24	114
	7	17	16	20	20	32	105
P2	13	40	38	30	32	24	164
	51	42	33	30	24	42	171
	52	35	29	35	32	29	160
P3	17	33	25	29	32	48	167
	18	55	34	33	35	32	189
	19	37	41	32	31	18	159
P1(S)	5	48	16	31	21	18	134
	6	24	21	14	16	17	92
	8	20	24	18	21	19	102
P2(S)	13	32	36	29	30	31	158
	15	24	21	31	24	20	120
	16	35	12	29	30	13	119
P3(S)	24	6	19	23	21	18	87
	45	32	30	28	27	14	131
	54	22	32	27	26	39	146

Sofyan(pengamat 2)

Kelompok	No. Mencit	Jumlah Nekrosis Sel Hati					Jumlah Sel
		Lap. 1	Lap. 2	Lap.3	Lap. 4	Lap. 5	
K(-)	17	20	15	10	23	14	82
	18	15	18	17	20	12	82
	19	22	19	11	12	19	83
K(+)	1	18	22	24	17	35	116
	2	32	33	38	31	27	161
	3	32	22	21	29	26	130
K(+S)	5	27	32	32	19	21	131
	6	29	28	29	42	22	150
	7	29	20	15	13	20	97
P1	2	27	36	37	51	26	177
	4	24	33	20	37	34	148
	7	26	28	27	26	30	137
P2	13	43	41	41	32	30	187
	51	49	36	33	23	40	181
	52	38	35	43	43	30	189
P3	17	44	27	34	29	42	176
	18	55	42	47	42	47	233
	19	41	53	40	37	26	197
P1(S)	5	48	20	31	29	18	146
	6	27	31	22	23	23	126
	8	32	32	21	34	38	157
P2(S)	13	44	40	31	42	41	198
	15	24	21	37	33	41	156
	16	43	18	44	32	32	169
P3(S)	24	26	35	32	34	26	153
	45	31	35	42	33	27	168
	54	34	29	43	34	44	184

Oland (pengamat 3)

Kelompok	No. Mencit	Jumlah Nekrosis Sel Hati					Jumlah Sel
		Lap. 1	Lap. 2	Lap.3	Lap. 4	Lap. 5	
K(-)	17	19	23	17	12	20	91
	18	18	19	22	21	13	93
	19	14	18	23	19	21	95
K(+)	1	17	25	18	19	34	113
	2	36	30	35	33	29	163
	3	30	22	22	27	28	129
K(+S)	5	23	26	26	22	20	117
	6	29	28	32	40	23	152
	7	23	19	17	13	11	83
P1	2	31	34	39	58	30	192
	4	34	29	19	39	38	159
	7	26	26	27	28	34	141
P2	13	45	46	41	38	29	199
	51	52	41	44	24	42	203
	52	41	39	51	38	42	211
P3	17	46	27	33	35	50	191
	18	53	42	50	48	46	239
	19	45	69	48	46	24	232
P1(S)	5	45	32	32	40	15	164
	6	26	35	19	23	21	124
	8	36	40	23	23	35	157
P2(S)	13	46	41	23	43	37	190
	15	28	27	33	31	34	153
	16	40	20	45	32	35	172
P3(S)	24	29	29	42	36	30	166
	45	37	38	40	40	31	186
	54	36	33	38	37	34	178

Data Hati Mencit Jantan

Rata-rata jumlah nekrosis hepatosit dari tiga pengamatan

Kelompok	No Mencit	Rata-rata jumlah nekrosis hepatosit
K(-)	17	83
	18	88
	19	87
K(+)	1	100
	2	161
	3	131
K(+) S	5	112
	6	139
	7	83
P1	2	167
	4	140
	7	128
P2	13	183
	51	185
	52	187
P3	17	178
	18	220
	19	196
P1(S)	5	148
	6	114
	8	139
P2(S)	13	182
	15	143
	16	153
P3(S)	24	135
	45	162
	54	169

Uji normalitas kelompok

Kelompok kontrol negatif (PGA 3%)

One-Sample Kolmogorov-Smirnov Test

		Jumlah Nekrosis Hepatosit
N		3
Normal Parameters ^{a,b}	Mean	86.0000
	Std. Deviation	2.64575
Most Extreme Differences	Absolute	.314
	Positive	.225
	Negative	-.314
Kolmogorov-Smirnov Z		.544
Asymp. Sig. (2-tailed)		.929

a. Test distribution is Normal.

b. Calculated from data.

Kelompok kontrol positif (Asam asetilsalisilat 1,3 mg/g BB)

One-Sample Kolmogorov-Smirnov Test

		Jumlah Nekrosis Hepatosit
N		3
Normal Parameters ^{a,b}	Mean	130.6667
	Std. Deviation	30.50137
Most Extreme Differences	Absolute	.176
	Positive	.176
	Negative	-.173
Kolmogorov-Smirnov Z		.305
Asymp. Sig. (2-tailed)		1.000

a. Test distribution is Normal.

b. Calculated from data.

Kelompok satelit kontrol positif

One-Sample Kolmogorov-Smirnov Test

		Jumlah Nekrosis Hepatosit
N		3
Normal Parameters ^{a,b}	Mean	111.3333
	Std. Deviation	28.00595
Most Extreme Differences	Absolute	.177
	Positive	.177
	Negative	-.176
Kolmogorov-Smirnov Z		.307
Asymp. Sig. (2-tailed)		1.000

a. Test distribution is Normal.

b. Calculated from data.

Perlakuan I (Asam 2-(3-klorobenzoiloksi)benzoat 1,3 mg/ gBB)

One-Sample Kolmogorov-Smirnov Test

		Jumlah Nekrosis Hepatosit
N		3
Normal Parameters ^{a,b}	Mean	145.1100
	Std. Deviation	19.93455
Most Extreme Differences	Absolute	.261
	Positive	.261
	Negative	-.197
Kolmogorov-Smirnov Z		.453
Asymp. Sig. (2-tailed)		.987

a. Test distribution is Normal.

b. Calculated from data.

Perlakuan II (Asam 2-(3-klorobenzoiloksi)benzoat 2,6 mg/ gBB

One-Sample Kolmogorov-Smirnov Test

		Jumlah Nekrosis Hepatosit
N		3
Normal Parameters ^{a,b}	Mean	185.0000
	Std. Deviation	2.00000
Most Extreme Differences	Absolute	.175
	Positive	.175
	Negative	-.175
Kolmogorov-Smirnov Z		.303
Asymp. Sig. (2-tailed)		1.000

a. Test distribution is Normal.

b. Calculated from data.

Perlakuan III (Asam 2-(3-klorobenzoiloksi)benzoat 3,9 mg/g BB

One-Sample Kolmogorov-Smirnov Test

		Jumlah Nekrosis Hepatosit
N		3
Normal Parameters ^{a,b}	Mean	198.0000
	Std. Deviation	21.07131
Most Extreme Differences	Absolute	.204
	Positive	.204
	Negative	-.185
Kolmogorov-Smirnov Z		.354
Asymp. Sig. (2-tailed)		1.000

a. Test distribution is Normal.

b. Calculated from data.

Kelompok satelit perlakuan I

One-Sample Kolmogorov-Smirnov Test

		Jumlah Nekrosis Hepatosit
N		3
Normal Parameters ^{a,b}	Mean	133.6667
	Std. Deviation	17.61628
Most Extreme Differences	Absolute	.286
	Positive	.208
	Negative	-.286
Kolmogorov-Smirnov Z		.495
Asymp. Sig. (2-tailed)		.967

a. Test distribution is Normal.

b. Calculated from data.

Kelompok satelit perlakuan II

One-Sample Kolmogorov-Smirnov Test

		Jumlah Nekrosis Hepatosit
N		3
Normal Parameters ^{a,b}	Mean	159.3333
	Std. Deviation	20.25669
Most Extreme Differences	Absolute	.289
	Positive	.289
	Negative	-.210
Kolmogorov-Smirnov Z		.501
Asymp. Sig. (2-tailed)		.963

a. Test distribution is Normal.

b. Calculated from data.

Kelompok satelit perlakuan III

One-Sample Kolmogorov-Smirnov Test

		Jumlah Nekrosis Hepatosit
N		3
Normal Parameters ^{a,b}	Mean	155.3333
	Std. Deviation	17.95364
Most Extreme Differences	Absolute	.311
	Positive	.223
	Negative	-.311
Kolmogorov-Smirnov Z		.539
Asymp. Sig. (2-tailed)		.933

a. Test distribution is Normal.

b. Calculated from data.

Oneway

Test of Homogeneity of Variances

Jumlah Nekrosis Hepatosit

Levene Statistic	df1	df2	Sig.
1.305	8	18	.302

ANOVA

Jmlh_Nekrosis_Hepatosit

	Sum of Squares	df	Mean Square	F	Sig.
Between Groups	29008.600	8	3626.075	9.040	.000
Within Groups	7220.106	18	401.117		
Total	36228.706	26			

Descriptives

Jumlah Nekrosis Hepatosit

	N	Mean	Std. Deviation	Std. Error	95% Confidence Interval for Mean		Minimum	Maximum
					Lower Bound	Upper Bound		
K(-)	3	86.0000	2.64575	1.52753	79.4276	92.5724	83.00	88.00
K(+)	3	130.6667	30.50137	17.60997	54.8971	206.4363	100.00	161.00
K+(S)	3	111.3333	28.00595	16.16924	41.7627	180.9040	83.00	139.00
P1	3	145.1100	19.93455	11.50922	95.5898	194.6302	128.00	167.00
P2	3	185.0000	2.00000	1.15470	180.0317	189.9683	183.00	187.00
P3	3	198.0000	21.07131	12.16553	145.6560	250.3440	178.00	220.00
P1(S)	3	133.6667	17.61628	10.17076	89.9054	177.4279	114.00	148.00
P2(S)	3	159.3333	20.25669	11.69520	109.0129	209.6537	143.00	182.00
P3(S)	3	155.3333	17.95364	10.36554	110.7340	199.9327	135.00	169.00
Total	27	144.9381	37.32843	7.18386	130.1715	159.7048	83.00	220.00

Post Hoc Tests

Multiple Comparisons

Jumlah Nekrosis Hepatosit
LSD

(I) Kelompok	(J) Kelompok	Mean Difference (I-J)	Std. Error	Sig.	95% Confidence Interval	
					Lower Bound	Upper Bound
K(-)	K(+)	-44.66667 [*]	16.35272	.014	-79.0224	-10.3109
	K+(S)	-25.33333	16.35272	.139	-59.6891	9.0224
	P1	-59.11000 ^{ab}	16.35272	.002	-93.4658	-24.7542
	P2	-99.00000 ^{ab}	16.35272	.000	-133.3558	-64.6442
	P3	-112.00000 ^{ab}	16.35272	.000	-146.3558	-77.6442
	P1(S)	-47.66667 [*]	16.35272	.009	-82.0224	-13.3109
	P2(S)	-73.33333 ^{ab}	16.35272	.000	-107.6891	-38.9776
	P3(S)	-69.33333 ^{ab}	16.35272	.000	-103.6891	-34.9776
K(+)	K(-)	44.66667 [*]	16.35272	.014	10.3109	79.0224
	K+(S)	19.33333	16.35272	.252	-15.0224	53.6891
	P1	-14.44333	16.35272	.389	-48.7991	19.9124
	P2	-54.33333 [*]	16.35272	.004	-88.6891	-19.9776
	P3	-67.33333 ^{ab}	16.35272	.001	-101.6891	-32.9776
	P1(S)	-3.00000	16.35272	.856	-37.3558	31.3558
	P2(S)	-28.66667	16.35272	.097	-63.0224	5.6891
	P3(S)	-24.66667	16.35272	.149	-59.0224	9.6891
K+(S)	K(-)	25.33333	16.35272	.139	-9.0224	59.6891
	K(+)	-19.33333	16.35272	.252	-53.6891	15.0224
	P1	-33.77667	16.35272	.054	-68.1324	.5791
	P2	-73.66667 [*]	16.35272	.000	-108.0224	-39.3109
	P3	-86.66667 ^{ab}	16.35272	.000	-121.0224	-52.3109
	P1(S)	-22.33333	16.35272	.189	-56.6891	12.0224
	P2(S)	-48.00000 ^{ab}	16.35272	.009	-82.3558	-13.6442

	P3(S)	-44.00000*	16.35272	.015	-78.3558	-9.6442
P1	K(-)	59.11000*	16.35272	.002	24.7542	93.4658
	K(+)	14.44333	16.35272	.389	-19.9124	48.7991
	K+(S)	33.77667	16.35272	.054	-.5791	68.1324
	P2	-39.89000*	16.35272	.025	-74.2458	-5.5342
	P3	-52.89000*	16.35272	.005	-87.2458	-18.5342
	P1(S)	11.44333	16.35272	.493	-22.9124	45.7991
	P2(S)	-14.22333	16.35272	.396	-48.5791	20.1324
	P3(S)	-10.22333	16.35272	.540	-44.5791	24.1324
P2	K(-)	99.00000*	16.35272	.000	64.6442	133.3558
	K(+)	54.33333*	16.35272	.004	19.9776	88.6891
	K+(S)	73.66667*	16.35272	.000	39.3109	108.0224
	P1	39.89000*	16.35272	.025	5.5342	74.2458
	P3	-13.00000	16.35272	.437	-47.3558	21.3558
	P1(S)	51.33333*	16.35272	.006	16.9776	85.6891
	P2(S)	25.66667	16.35272	.134	-8.6891	60.0224
	P3(S)	29.66667	16.35272	.086	-4.6891	64.0224
P3	K(-)	112.00000*	16.35272	.000	77.6442	146.3558
	K(+)	67.33333*	16.35272	.001	32.9776	101.6891
	K+(S)	86.66667*	16.35272	.000	52.3109	121.0224
	P1	52.89000*	16.35272	.005	18.5342	87.2458
	P2	13.00000	16.35272	.437	-21.3558	47.3558
	P1(S)	64.33333*	16.35272	.001	29.9776	98.6891
	P2(S)	38.66667*	16.35272	.029	4.3109	73.0224
	P3(S)	42.66667*	16.35272	.018	8.3109	77.0224
P1(S)	K(-)	47.66667*	16.35272	.009	13.3109	82.0224
	K(+)	3.00000	16.35272	.856	-31.3558	37.3558
	K+(S)	22.33333	16.35272	.189	-12.0224	56.6891
	P1	-11.44333	16.35272	.493	-45.7991	22.9124
	P2	-51.33333*	16.35272	.006	-85.6891	-16.9776

	P3	-64.33333 [*]	16.35272	.001	-98.6891	-29.9776
	P2(S)	-25.66667	16.35272	.134	-60.0224	8.6891
	P3(S)	-21.66667	16.35272	.202	-56.0224	12.6891
P2(S)	K(-)	73.33333 [*]	16.35272	.000	38.9776	107.6891
	K(+)	28.66667	16.35272	.097	-5.6891	63.0224
	K+(S)	48.00000 [*]	16.35272	.009	13.6442	82.3558
	P1	14.22333	16.35272	.396	-20.1324	48.5791
	P2	-25.66667	16.35272	.134	-60.0224	8.6891
	P3	-38.66667 [*]	16.35272	.029	-73.0224	-4.3109
	P1(S)	25.66667	16.35272	.134	-8.6891	60.0224
	P3(S)	4.00000	16.35272	.810	-30.3558	38.3558
P3(S)	K(-)	69.33333 [*]	16.35272	.000	34.9776	103.6891
	K(+)	24.66667	16.35272	.149	-9.6891	59.0224
	K+(S)	44.00000 [*]	16.35272	.015	9.6442	78.3558
	P1	10.22333	16.35272	.540	-24.1324	44.5791
	P2	-29.66667	16.35272	.086	-64.0224	4.6891
	P3	-42.66667 [*]	16.35272	.018	-77.0224	-8.3109
	P1(S)	21.66667	16.35272	.202	-12.6891	56.0224
	P2(S)	-4.00000	16.35272	.810	-38.3558	30.3558

*. The mean difference is significant at the 0.05 level.

LAMPIRAN 2

Data Ginjal Mencit Jantan

Hans (pengamat 1)

Kelompok	No. Mencit	Jumlah Nekrosis Tubulus Proksimal					Jumlah Sel
		Lap. 1	Lap. 2	Lap.3	Lap. 4	Lap. 5	
K(-)	17	22	17	15	14	23	91
	18	8	20	19	30	14	91
	19	16	17	14	22	25	94
K(+)	1	27	33	54	53	43	210
	2	42	57	21	34	25	179
	3	29	34	20	14	31	128
K(+S)	5	16	20	14	14	9	73
	6	19	30	29	14	11	103
	7	12	10	14	15	18	69
P1	2	11	14	19	18	20	82
	4	15	28	18	19	22	102
	7	31	18	30	14	14	107
P2	13	31	20	21	15	28	115
	51	14	31	15	14	21	95
	52	16	21	15	14	17	83
P3	17	13	82	20	43	42	200
	18	53	17	52	59	26	207
	19	17	32	18	20	10	97
P1(S)	5	17	20	19	25	10	91
	6	15	12	21	7	11	66
	8	7	20	10	25	22	84
P2(S)	13	6	13	24	16	13	72
	15	12	16	6	13	9	56
	16	15	22	21	6	21	85
P3(S)	24	12	24	15	22	19	92
	45	15	21	15	19	28	98
	54	46	18	34	15	11	124

Ansy (pengamat 2)

Kelompok	No. Mencit	Jumlah Nekrosis Tubulus Proksimal					Jumlah Sel
		Lap. 1	Lap. 2	Lap.3	Lap. 4	Lap. 5	
K(-)	17	23	20	17	16	22	98
	18	10	18	9	21	11	69
	19	13	15	18	24	16	86
K(+)	1	5	8	11	8	3	35
	2	8	27	9	8	12	64
	3	12	5	12	10	25	64
K(+S)	5	13	13	7	7	14	54
	6	5	15	16	6	6	48
	7	8	6	12	6	10	42
P1	2	8	9	18	28	16	79
	4	17	26	18	21	35	117
	7	18	11	27	10	29	95
P2	13	28	12	30	35	39	144
	51	17	27	15	27	12	98
	52	14	10	17	3	15	59
P3	17	20	34	10	14	29	107
	18	10	20	22	24	16	92
	19	9	38	14	17	9	87
P1(S)	5	20	32	18	14	2	86
	6	12	18	37	5	17	89
	8	7	21	11	30	20	89
P2(S)	13	6	12	28	15	14	75
	15	15	22	5	12	8	62
	16	13	20	23	5	25	86
P3(S)	24	12	21	16	24	21	94
	45	12	27	19	26	59	143
	54	43	33	60	16	13	165

Oland(pengamat 3)

Kelompok	No. Mencit	Jumlah Nekrosis Tubulus Proksimal					Jumlah Sel
		Lap. 1	Lap. 2	Lap.3	Lap. 4	Lap. 5	
K(-)	17	21	20	16	19	23	99
	18	27	17	12	15	10	81
	19	13	25	16	20	22	96
K(+)	1	25	24	39	41	21	150
	2	24	26	20	13	10	93
	3	11	27	9	12	23	82
K(+S)	5	21	11	18	34	18	102
	6	9	25	26	16	8	84
	7	3	11	8	12	12	46
P1	2	11	11	25	14	23	84
	4	13	22	10	7	20	72
	7	35	15	31	10	12	103
P2	13	28	25	26	16	31	126
	51	12	27	17	17	10	83
	52	11	18	17	16	16	78
P3	17	14	63	20	39	34	170
	18	40	15	41	45	23	164
	19	18	36	18	29	16	117
P1(S)	5	20	20	18	27	10	95
	6	14	15	28	7	15	79
	8	7	19	10	27	20	83
P2(S)	13	7	15	23	18	11	74
	15	13	19	7	14	6	59
	16	12	21	21	3	20	77
P3(S)	24	12	28	14	21	20	95
	45	14	23	16	21	32	106
	54	41	23	42	11	10	127

Data Ginjal Mencit Jantan

Rata-rata jumlah nekrosis tubulus proksimal dari tiga pengamatan

Kelompok	No Mencit	Rata-rata jumlah nekrosis tubulus proksimal
K(-)	17	96
	18	80
	19	92
K(+)	1	132
	2	112
	3	91
K(+) S	5	76
	6	78
	7	52
P1	2	82
	4	97
	7	102
P2	13	128
	51	92
	52	73
P3	17	159
	18	154
	19	100
P1(S)	5	91
	6	78
	8	85
P2(S)	13	74
	15	59
	16	83
P3(S)	24	94
	45	116
	54	139

Uji normalitas kelompok

Kelompok kontrol negatif (PGA 3%)

One-Sample Kolmogorov-Smirnov Test

		Jumlah nekrosis tubulus proksimal
N		3
Normal Parameters ^{a,b}	Mean	89.3333
	Std. Deviation	8.32666
Most Extreme Differences	Absolute	.292
	Positive	.212
	Negative	-.292
Kolmogorov-Smirnov Z		.506
Asymp. Sig. (2-tailed)		.960

a. Test distribution is Normal.

b. Calculated from data.

Kelompok kontrol positif (Asam asetilsalisilat 1,3 mg/ gBB)

One-Sample Kolmogorov-Smirnov Test

		Jumlah nekrosis tubulus proksimal
N		3
Normal Parameters ^{a,b}	Mean	111.6667
	Std. Deviation	20.50203
Most Extreme Differences	Absolute	.177
	Positive	.177
	Negative	-.173
Kolmogorov-Smirnov Z		.306
Asymp. Sig. (2-tailed)		1.000

a. Test distribution is Normal.

b. Calculated from data.

Kelompok satelit kontrol positif

One-Sample Kolmogorov-Smirnov Test

		Jumlah nekrosis tubulus proksimal
N		3
Normal Parameters ^{a,b}	Mean	68.6667
	Std. Deviation	14.46836
Most Extreme Differences	Absolute	.361
	Positive	.259
	Negative	-.361
Kolmogorov-Smirnov Z		.624
Asymp. Sig. (2-tailed)		.830

a. Test distribution is Normal.

b. Calculated from data.

Perlakuan I (Asam 2-(3-klorobenzoiloksi)benzoat 1,3 mg/g BB)

One-Sample Kolmogorov-Smirnov Test

		Jumlah nekrosis tubulus proksimal
N		3
Normal Parameters ^{a,b}	Mean	93.6667
	Std. Deviation	10.40833
Most Extreme Differences	Absolute	.292
	Positive	.212
	Negative	-.292
Kolmogorov-Smirnov Z		.506
Asymp. Sig. (2-tailed)		.960

a. Test distribution is Normal.

b. Calculated from data.

Perlakuan II (Asam 2-(3-klorobenzoiloksi)benzoat 2,6 mg/g BB)

One-Sample Kolmogorov-Smirnov Test

		Jumlah nekrosis tubulus proksimal
N		3
Normal Parameters ^{a,b}	Mean	97.6667
	Std. Deviation	27.93445
Most Extreme Differences	Absolute	.247
	Positive	.247
	Negative	-.195
Kolmogorov-Smirnov Z		.428
Asymp. Sig. (2-tailed)		.993

a. Test distribution is Normal.

b. Calculated from data.

Perlakuan III (Asam 2-(3-klorobenzoiloksi)benzoat 3,9 mg/g BB)

One-Sample Kolmogorov-Smirnov Test

		Jumlah nekrosis tubulus proksimal
N		3
Normal Parameters ^{a,b}	Mean	137.6667
	Std. Deviation	32.71595
Most Extreme Differences	Absolute	.358
	Positive	.257
	Negative	-.358
Kolmogorov-Smirnov Z		.620
Asymp. Sig. (2-tailed)		.837

a. Test distribution is Normal.

b. Calculated from data.

Kelompok satelit perlakuan I

One-Sample Kolmogorov-Smirnov Test

		Jumlah nekrosis tubulus proksimal
N		3
Normal Parameters ^{a,b}	Mean	84.6667
	Std. Deviation	6.50641
Most Extreme Differences	Absolute	.187
	Positive	.181
	Negative	-.187
Kolmogorov-Smirnov Z		.324
Asymp. Sig. (2-tailed)		1.000

a. Test distribution is Normal.

b. Calculated from data.

Kelompok satelit perlakuan II

One-Sample Kolmogorov-Smirnov Test

		Jumlah nekrosis tubulus proksimal
N		3
Normal Parameters ^{a,b}	Mean	72.0000
	Std. Deviation	12.12436
Most Extreme Differences	Absolute	.232
	Positive	.192
	Negative	-.232
Kolmogorov-Smirnov Z		.402
Asymp. Sig. (2-tailed)		.997

a. Test distribution is Normal.

b. Calculated from data.

Kelompok satelit perlakuan III

One-Sample Kolmogorov-Smirnov Test

		Jumlah nekrosis tubulus proksimal
N		3
Normal Parameters ^{a,b}	Mean	116.3333
	Std. Deviation	22.50185
Most Extreme Differences	Absolute	.176
	Positive	.173
	Negative	-.176
Kolmogorov-Smirnov Z		.306
Asymp. Sig. (2-tailed)		1.000

a. Test distribution is Normal.

b. Calculated from data.

Test of Homogeneity of Variances

Jumlah nekrosis tubulus proksimal

Levene Statistic	df1	df2	Sig.
1.809	8	18	.141

ANOVA

Jumlah nekrosis tubulus proksimal

	Sum of Squares	df	Mean Square	F	Sig.
Between Groups	11678.074	8	1459.759	3.917	.008
Within Groups	6707.333	18	372.630		
Total	18385.407	26			

Descriptives

Jumlah nekrosis tubulus proksimal

	N	Mean	Std. Deviation	Std. Error	95% Confidence Interval for Mean		Minimum	Maximum
					Lower Bound	Upper Bound		
K(-)	3	89.3333	8.32666	4.80740	68.6488	110.0179	80.00	96.00
K(+)	3	111.6667	20.50203	11.83685	60.7368	162.5965	91.00	132.00
K+(S)	3	68.6667	14.46836	8.35331	32.7253	104.6081	52.00	78.00
P1	3	93.6667	10.40833	6.00925	67.8109	119.5224	82.00	102.00
P2	3	97.6667	27.93445	16.12796	28.2737	167.0597	73.00	128.00
P3	3	137.6667	32.71595	18.88856	56.3957	218.9376	100.00	159.00
P1(S)	3	84.6667	6.50641	3.75648	68.5039	100.8295	78.00	91.00
P2(S)	3	72.0000	12.12436	7.00000	41.8814	102.1186	59.00	83.00
P3(S)	3	116.3333	22.50185	12.99145	60.4356	172.2310	94.00	139.00
Total	27	96.8519	26.59194	5.11762	86.3324	107.3713	52.00	159.00

Post Hoc Tests

Multiple Comparisons

Jumlah nekrosis tubulus proksimal

LSD

(I) Kelompok	(J) Kelompok	Mean Difference (I-J)	Std. Error	Sig.	95% Confidence Interval	
					Lower Bound	Upper Bound
K(-)	K(+)	-22.33333	15.76134	.174	-55.4467	10.7800
	K+(S)	20.66667	15.76134	.206	-12.4467	53.7800
	P1	-4.33333	15.76134	.786	-37.4467	28.7800
	P2	-8.33333	15.76134	.603	-41.4467	24.7800
	P3	-48.33333*	15.76134	.007	-81.4467	-15.2200
	P1(S)	4.66667	15.76134	.771	-28.4467	37.7800
	P2(S)	17.33333	15.76134	.286	-15.7800	50.4467
	P3(S)	-27.00000	15.76134	.104	-60.1133	6.1133
K(+)	K(-)	22.33333	15.76134	.174	-10.7800	55.4467
	K+(S)	43.00000*	15.76134	.014	9.8867	76.1133
	P1	18.00000	15.76134	.268	-15.1133	51.1133
	P2	14.00000	15.76134	.386	-19.1133	47.1133
	P3	-26.00000	15.76134	.116	-59.1133	7.1133
	P1(S)	27.00000	15.76134	.104	-6.1133	60.1133
	P2(S)	39.66667*	15.76134	.022	6.5533	72.7800
	P3(S)	-4.66667	15.76134	.771	-37.7800	28.4467
K+(S)	K(-)	-20.66667	15.76134	.206	-53.7800	12.4467
	K(+)	-43.00000*	15.76134	.014	-76.1133	-9.8867
	P1	-25.00000	15.76134	.130	-58.1133	8.1133
	P2	-29.00000	15.76134	.082	-62.1133	4.1133
	P3	-69.00000*	15.76134	.000	-102.1133	-35.8867
	P1(S)	-16.00000	15.76134	.323	-49.1133	17.1133
	P2(S)	-3.33333	15.76134	.835	-36.4467	29.7800
	P3(S)	-47.66667*	15.76134	.007	-80.7800	-14.5533

P1	K(-)	4.33333	15.76134	.786	-28.7800	37.4467
	K(+)	-18.00000	15.76134	.268	-51.1133	15.1133
	K+(S)	25.00000	15.76134	.130	-8.1133	58.1133
	P2	-4.00000	15.76134	.803	-37.1133	29.1133
	P3	-44.00000*	15.76134	.012	-77.1133	-10.8867
	P1(S)	9.00000	15.76134	.575	-24.1133	42.1133
	P2(S)	21.66667	15.76134	.186	-11.4467	54.7800
	P3(S)	-22.66667	15.76134	.168	-55.7800	10.4467
P2	K(-)	8.33333	15.76134	.603	-24.7800	41.4467
	K(+)	-14.00000	15.76134	.386	-47.1133	19.1133
	K+(S)	29.00000	15.76134	.082	-4.1133	62.1133
	P1	4.00000	15.76134	.803	-29.1133	37.1133
	P3	-40.00000*	15.76134	.021	-73.1133	-6.8867
	P1(S)	13.00000	15.76134	.420	-20.1133	46.1133
	P2(S)	25.66667	15.76134	.121	-7.4467	58.7800
	P3(S)	-18.66667	15.76134	.252	-51.7800	14.4467
P3	K(-)	48.33333*	15.76134	.007	15.2200	81.4467
	K(+)	26.00000	15.76134	.116	-7.1133	59.1133
	K+(S)	69.00000*	15.76134	.000	35.8867	102.1133
	P1	44.00000*	15.76134	.012	10.8867	77.1133
	P2	40.00000*	15.76134	.021	6.8867	73.1133
	P1(S)	53.00000*	15.76134	.003	19.8867	86.1133
	P2(S)	65.66667*	15.76134	.001	32.5533	98.7800
	P3(S)	21.33333	15.76134	.193	-11.7800	54.4467
P1(S)	K(-)	-4.66667	15.76134	.771	-37.7800	28.4467
	K(+)	-27.00000	15.76134	.104	-60.1133	6.1133
	K+(S)	16.00000	15.76134	.323	-17.1133	49.1133
	P1	-9.00000	15.76134	.575	-42.1133	24.1133
	P2	-13.00000	15.76134	.420	-46.1133	20.1133
	P3	-53.00000*	15.76134	.003	-86.1133	-19.8867
	P2(S)	12.66667	15.76134	.432	-20.4467	45.7800

	P3(S)	-31.66667	15.76134	.060	-64.7800	1.4467
P2(S)	K(-)	-17.33333	15.76134	.286	-50.4467	15.7800
	K(+)	-39.66667*	15.76134	.022	-72.7800	-6.5533
	K+(S)	3.33333	15.76134	.835	-29.7800	36.4467
	P1	-21.66667	15.76134	.186	-54.7800	11.4467
	P2	-25.66667	15.76134	.121	-58.7800	7.4467
	P3	-65.66667*	15.76134	.001	-98.7800	-32.5533
	P1(S)	-12.66667	15.76134	.432	-45.7800	20.4467
	P3(S)	-44.33333*	15.76134	.012	-77.4467	-11.2200
P3(S)	K(-)	27.00000	15.76134	.104	-6.1133	60.1133
	K(+)	4.66667	15.76134	.771	-28.4467	37.7800
	K+(S)	47.66667*	15.76134	.007	14.5533	80.7800
	P1	22.66667	15.76134	.168	-10.4467	55.7800
	P2	18.66667	15.76134	.252	-14.4467	51.7800
	P3	-21.33333	15.76134	.193	-54.4467	11.7800
	P1(S)	31.66667	15.76134	.060	-1.4467	64.7800
	P2(S)	44.33333*	15.76134	.012	11.2200	77.4467

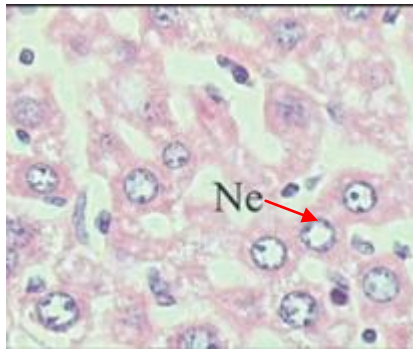
*. The mean difference is significant at the 0.05 level.

LAMPIRAN 3

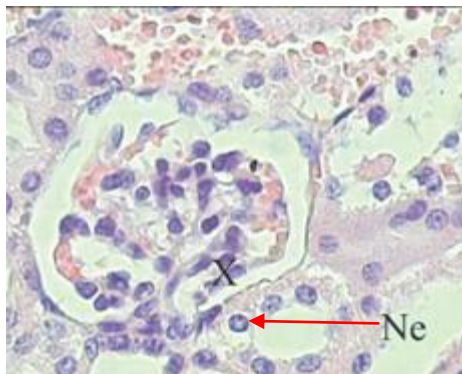
GAMBAR NEKROSIS HATI DAN GINJAL

A. Karyolisis

Karyolisis merupakan kondisi dimana inti tidak lagi mengambil zat warna sehingga menjadi pucat dan akhirnya menghilang. Berikut merupakan gambar sel hati dan tubulus proksimal yang mengalami nekrosis berupa karyolisis.



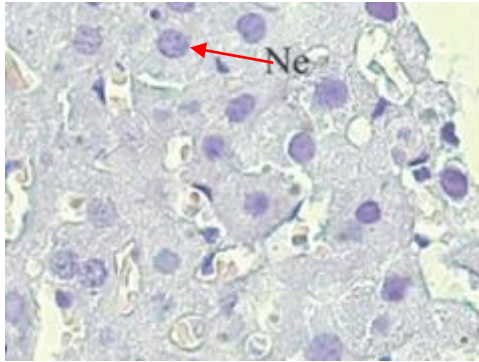
Gambar 1 Sel hati menciut jantan yang mengalami nekrosis berupa karyolisis (HE, 400x)



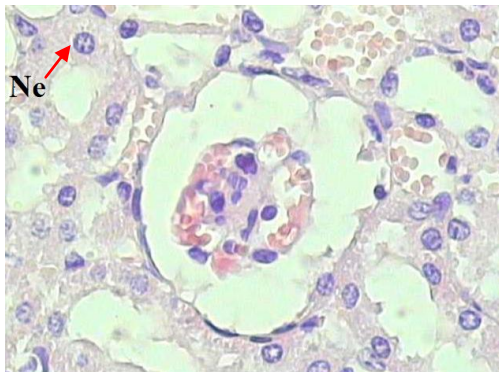
Gambar 2 Tubulus proksimal menciut jantan yang mengalami nekrosis berupa karyolisis (HE, 400x)

B. Karyoreksis

Karyoreksis merupakan kondisi dimana inti terbagi atas fragmen-fragmen. Berikut merupakan gambar sel hati dan tubulus proksimal yang mengalami nekrosis berupa karyoreksis.



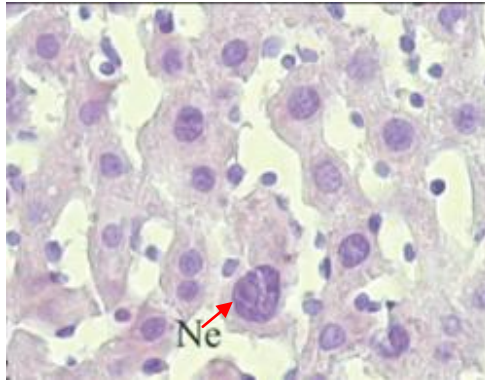
Gambar 3 Sel hati mencit jantan yang mengalami nekrosis berupa karyoreksis (HE, 400x)



Gambar 4 Tubulus proksimal mencit jantan yang mengalami nekrosis berupa karyoreksis (HE, 400x)

C. Piknosis

Piknosis kondisi dimana inti tampak lebih padat dan warnanya gelap hitam karena menyerap zat warna. Berikut merupakan gambar sel hati dan tubulus proksimal yang mengalami nekrosis berupa piknosis.



Gambar 3 Sel hati mencit jantan yang mengalami nekrosis berupa piknosis (HE, 400x)

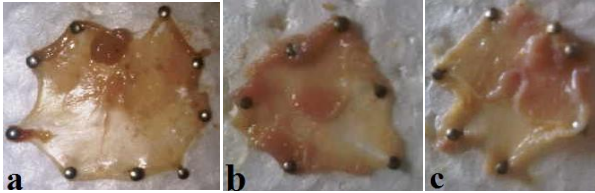


Gambar 4 Tubulus proksimal mencit jantan yang mengalami nekrosis berupa piknosis (HE, 400x)

LAMPIRAN 4

GAMBAR MAKROSKOPIS LAMBUNG

A. Kelompok kontrol negatif (PGA 3%)

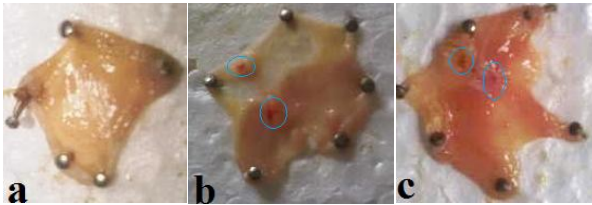


Keterangan gambar:

- a. Kondisi lambung mencit nomor 17
- b. Kondisi lambung mencit nomor 18
- c. Kondisi lambung mencit nomor 19

Berdasarkan gambar dapat di lihat bahwa kondis lambung mencit jantan pemberian suspensi PGA 3% tampak normal dengan tidak adanya bintik merah pada mukosa lambung yang menandai terjadinya iritasi mukosa lambung.

B. Kelompok kontrol positif (Asam asetilsalisilat 1,3 mg/ 20 gBB)



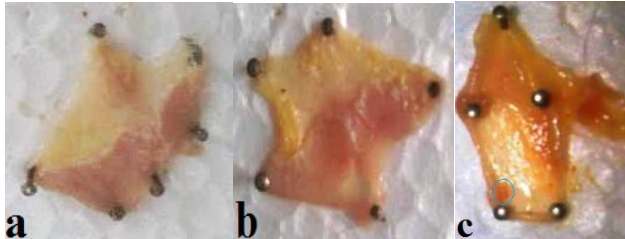
Keterangan gambar:

- a. Kondisi lambung mencit nomor 1
- b. Kondisi lambung mencit nomor 2
- c. Kondisi lambung mencit nomor 3

Berdasarkan gambar dapat di lihat bahwa kondisi lambung mencit jantan pemberian asam asetilsalisilat 1,3 mg/ 20 gBB, terdapat bintik-

bintik merah yang menandai terjadinya iritasi (di dalam lingkaran biru).

C. Kelompok satelit kontrol positif

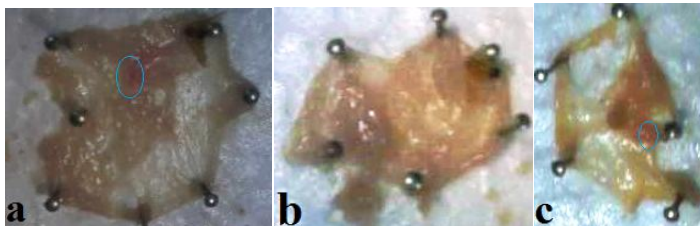


Keterangan gambar:

- Kondisi lambung mencit nomor 5
- Kondisi lambung mencit nomor 6
- Kondisi lambung mencit nomor 7

Berdasarkan gambar dapat di lihat bahwa kondisi lambung mencit jantan K+(S) masih terdapat iritasi pada lambung mencit nomor 7 yang menandai terjadinya iritasi tapi tidak terlalu parah jika dibandingkan dengan kelompok K(+)

D. Kelompok P1 (Asam 2-(3-klorobenzoiloksi)benzoat 1,3 mg/ 20 gBB)

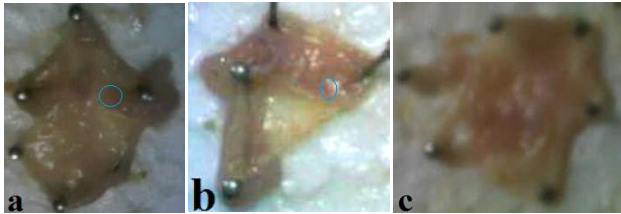


Keterangan gambar:

- Kondisi lambung mencit nomor 2
- Kondisi lambung mencit nomor 4
- Kondisi lambung mencit nomor 7

Berdasarkan gambar dapat di lihat bahwa kondisi mukosa lambung mencit perlakuan asam 2-(3-klorobenzoiloksi)benzoat 1,3 mg/ 20 gBB mengalami iritasi dengan ditandai adanya bintik-bintik merah pada mukosa lambung (di dalam lingkaran biru)

E. Kelompok P2 (Asam 2-(3-klorobenzoiloksi)benzoat 2,6 mg/ gBB)

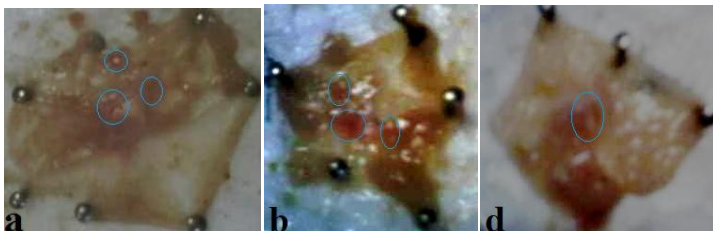


Keterangan gambar:

- Kondisi mukosa lambung mencit nomor 13
- Kondisi mukosa lambung mencit nomor 51
- Kondisi mukosa lambung mencit nomor 52

Berdasarkan gambar dapat di lihat bahwa kondisi mukosa lambung mencit perlakuan asam 2-(3-klorobenzoiloksi)benzoat 2,6 mg/ 20 gBB mengalami iritasi dengan ditandai adanya bintik-bintik merah pada mukosa lambung (di dalam lingkaran biru)

F. Kelompok P3 (Asam 2-(3-klorobenzoiloksi)benzoat 3,9 mg/ 20 gBB)



Keterangan gambar:

- Kondisi mukosa lambung mencit nomor 17
- Kondisi mukosa lambung mencit nomor 18
- Kondisi mukosa lambung mencit nomor 19

Berdasarkan gambar dapat di lihat bahwa kondisi mukosa lambung mencit perlakuan asam 2-(3-klorobenzoiloksi)benzoat 3,9 mg/ 20 gBB mengalami iritasi dengan ditandai adanya bintik-bintik merah pada mukosa lambung (di dalam lingkaran biru). Peningkatan dosis mengakibatkan kondisi mukosa lambung semakin berbeda dengan kondisi mukosa lambung normal.

G. Kelompok satelit P1

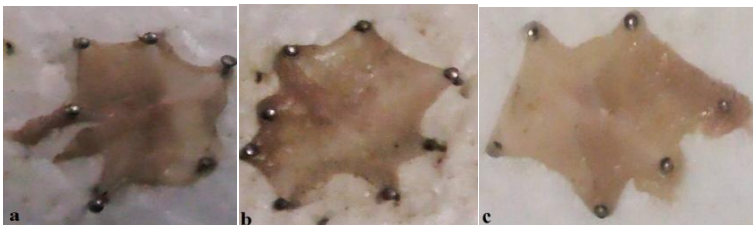


Keterangan gambar:

- Kondisi mukosa lambung mencit nomor 5
- Kondisi mukosa lambung mencit nomor 6
- Kondisi mukosa lambung mencit nomor 8

Berdasarkan gambar dapat di lihat bahwa kondisi mukosa lambung mencit kelompok satelit asam 2-(3-klorobenzoiloksi)benzoat 1,3 mg/ 20 gBB sudah mengalami perbaikan mukosa lambung dari iritasi dengan ditandai brkurangnya bintik-bintik merah pada mukosa lambung.

H. Kelompok satelit P2

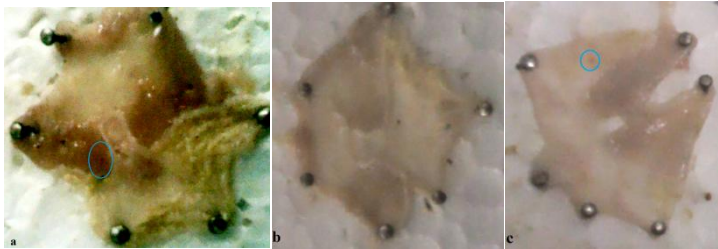


Keterangan gambar:

- a. Kondisi mukosa lambung mencit nomor 13
- b. Kondisi mukosa lambung mencit nomor 15
- c. Kondisi mukosa lambung mencit nomor 16

Berdasarkan gambar dapat di lihat bahwa kondisi mukosa lambung mencit kelompok satelit asam 2-(3-klorobenzoiloksi)benzoat 2,6 mg/ 20 gBB sudah mengalami perbaikan dari iritasi dengan ditandai sudah tidak adanya bintik-bintik merah pada mukosa lambung.

I. Kelompok satelit P3



Keterangan gambar:

- a. Kondisi mukosa lambung mencit nomor 13
- b. Kondisi mukosa lambung mencit nomor 15
- c. Kondisi mukosa lambung mencit nomor 16

Berdasarkan gambar dapat di lihat bahwa kondisi mukosa lambung mencit kelompok satelit asam 2-(3-klorobenzoiloksi)benzoat 3,9 mg/ 20 gBB sudah mengalami perbaikan dari iritasi, namun proses perbaikan mukosa belum maksimal karena kerusakan berupa iritasi yang terjadi oleh senyawa ini sangat parah pada peningkatan dosis yakni 3,9 mg/ gBB.

LAMPIRAN 5

Tabel XI. Tabel F untuk uji *One-Way ANOVA*

$$F_{\alpha}(p, n) \quad \alpha = 0,05$$

v_1 = degrees of freedom for numerator																					
v_2	v_1	1	2	3	4	5	6	7	8	9	10	12	15	20	24	30	40	60	120	∞	
1	1	161,4	199,5	215,7	224,6	230,2	234,0	236,8	238,9	240,5	241,9	243,9	245,9	248,0	249,1	250,1	251,1	252,2	253,3	254,3	
2	1	18,51	19,00	19,16	19,25	19,30	19,33	19,35	19,37	19,38	19,40	19,41	19,43	19,45	19,45	19,46	19,47	19,48	19,49	19,50	
3	1	10,13	9,55	9,28	9,12	9,01	8,94	8,89	8,85	8,81	8,79	8,74	8,70	8,66	8,64	8,62	8,59	8,57	8,55	8,53	
4	1	7,71	6,94	6,59	6,39	6,26	6,16	6,09	6,04	6,00	5,96	5,91	5,86	5,80	5,77	5,75	5,72	5,69	5,66	5,63	
5	1	6,61	5,79	5,41	5,19	5,05	4,95	4,88	4,82	4,77	4,74	4,68	4,62	4,56	4,53	4,50	4,46	4,43	4,40	4,36	
6	1	5,99	5,14	4,76	4,53	4,39	4,28	4,21	4,15	4,10	4,06	4,00	3,94	3,87	3,84	3,81	3,77	3,74	3,70	3,67	
7	1	5,59	4,74	4,35	4,12	3,97	3,87	3,79	3,73	3,68	3,64	3,57	3,51	3,44	3,41	3,38	3,34	3,30	3,27	3,23	
8	1	5,32	4,46	4,07	3,84	3,69	3,58	3,50	3,44	3,39	3,35	3,28	3,22	3,15	3,12	3,08	3,04	3,01	2,97	2,93	
9	1	5,12	4,26	3,86	3,63	3,48	3,37	3,29	3,23	3,18	3,14	3,07	3,01	2,94	2,90	2,86	2,83	2,79	2,75	2,71	
10	1	4,96	4,10	3,71	3,48	3,33	3,22	3,14	3,07	3,02	2,98	2,91	2,85	2,77	2,74	2,70	2,66	2,62	2,58	2,54	
11	1	4,84	3,98	3,59	3,36	3,20	3,09	3,01	2,95	2,90	2,85	2,79	2,72	2,65	2,61	2,57	2,53	2,49	2,45	2,40	
12	1	4,75	3,89	3,49	3,26	3,11	3,00	2,91	2,85	2,80	2,75	2,69	2,62	2,54	2,51	2,47	2,43	2,38	2,34	2,30	
13	1	4,67	3,81	3,41	3,18	3,03	2,92	2,83	2,77	2,71	2,67	2,60	2,53	2,46	2,42	2,38	2,34	2,30	2,25	2,21	
14	1	4,60	3,74	3,34	3,11	2,96	2,85	2,76	2,70	2,65	2,60	2,53	2,46	2,39	2,35	2,31	2,27	2,22	2,18	2,13	
15	1	4,54	3,68	3,29	3,06	2,90	2,79	2,71	2,64	2,59	2,54	2,48	2,40	2,33	2,29	2,25	2,20	2,16	2,11	2,07	
16	1	4,49	3,63	3,24	3,01	2,85	2,74	2,66	2,59	2,54	2,49	2,42	2,35	2,28	2,24	2,19	2,15	2,11	2,06	2,01	
17	1	4,45	3,59	3,20	2,96	2,81	2,70	2,61	2,55	2,49	2,45	2,38	2,31	2,23	2,19	2,15	2,10	2,06	2,01	1,96	
18	1	4,41	3,55	3,16	2,93	2,77	2,66	2,58	2,51	2,46	2,41	2,34	2,27	2,19	2,15	2,11	2,06	2,02	1,97	1,92	
19	1	4,38	3,52	3,13	2,90	2,74	2,63	2,54	2,48	2,42	2,38	2,31	2,23	2,16	2,11	2,07	2,03	1,98	1,93	1,88	
20	1	4,35	3,49	3,10	2,87	2,71	2,60	2,51	2,45	2,39	2,35	2,28	2,20	2,12	2,08	2,04	1,99	1,95	1,90	1,84	
21	1	4,32	3,47	3,07	2,84	2,68	2,57	2,49	2,42	2,37	2,32	2,25	2,18	2,10	2,05	2,01	1,96	1,92	1,87	1,81	
22	1	4,30	3,44	3,05	2,82	2,66	2,55	2,46	2,40	2,34	2,30	2,23	2,15	2,07	2,03	1,98	1,94	1,89	1,84	1,78	
23	1	4,28	3,42	3,03	2,80	2,64	2,53	2,44	2,37	2,32	2,27	2,20	2,13	2,05	2,01	1,96	1,91	1,86	1,81	1,76	
24	1	4,26	3,40	3,01	2,78	2,62	2,51	2,42	2,36	2,30	2,25	2,18	2,11	2,03	1,98	1,94	1,89	1,84	1,79	1,73	
25	1	4,24	3,39	2,99	2,76	2,60	2,49	2,40	2,34	2,28	2,24	2,16	2,09	2,01	1,96	1,92	1,87	1,82	1,77	1,71	
26	1	4,23	3,37	2,98	2,74	2,59	2,47	2,39	2,32	2,27	2,22	2,15	2,07	1,99	1,95	1,90	1,85	1,80	1,75	1,69	
27	1	4,21	3,35	2,96	2,73	2,57	2,46	2,37	2,31	2,25	2,20	2,13	2,06	1,97	1,93	1,88	1,84	1,79	1,73	1,67	
28	1	4,20	3,34	2,95	2,71	2,56	2,45	2,36	2,29	2,24	2,19	2,12	2,04	1,96	1,91	1,87	1,82	1,77	1,71	1,65	
29	1	4,18	3,33	2,93	2,70	2,55	2,43	2,35	2,28	2,22	2,18	2,10	2,03	1,94	1,90	1,85	1,81	1,75	1,70	1,64	
30	1	4,17	3,32	2,92	2,69	2,53	2,42	2,33	2,27	2,21	2,16	2,09	2,01	1,93	1,89	1,84	1,79	1,74	1,68	1,62	
40	1	4,08	3,23	2,84	2,61	2,45	2,34	2,25	2,18	2,12	2,08	2,00	1,92	1,84	1,79	1,74	1,69	1,64	1,58	1,51	
60	1	4,00	3,15	2,76	2,53	2,37	2,25	2,17	2,10	2,04	1,99	1,92	1,84	1,75	1,70	1,65	1,59	1,53	1,47	1,39	
120	1	3,92	3,07	2,68	2,45	2,29	2,17	2,09	2,02	1,96	1,91	1,83	1,75	1,66	1,61	1,55	1,50	1,43	1,35	1,25	
∞	1	3,84	3,00	2,60	2,37	2,21	2,10	2,01	1,94	1,88	1,83	1,75	1,67	1,57	1,52	1,46	1,39	1,32	1,22	1,10	